

к-ром происходит опрокидывание подрешёток (спин-флоп, см. Антиферромагнетизм):

$$H_c = H_{AE} = 2M_0 \sqrt{aB} = \sqrt{2H_A H_E}. \quad (8)$$

Здесь введены два эф. поля — обменное поле $H_E = BM_0$ и поле анизотропии $H_A = 2|a|M_0$. При $H_0 = H_c$ вектор \mathbf{L} устанавливается перпендикулярно Oz , возникает намагниченность $M_z = H_0/B$.

Замена в (1) векторов \mathbf{M}_1 , \mathbf{M}_2 на \mathbf{L} и \mathbf{M} даёт систему из 6 ур-ний, решения к-рых пишутся в виде:

$$\mathbf{L} = \mathbf{L}_0 + l e^{i\omega t} \text{ и } \mathbf{M} = \mathbf{M}_0 + \mu e^{i\omega t} \quad (9)$$

(значения \mathbf{L}_0 и \mathbf{M}_0 соответствуют осн. состоянию, а l и μ — амплитуды колебаний при А. р.).

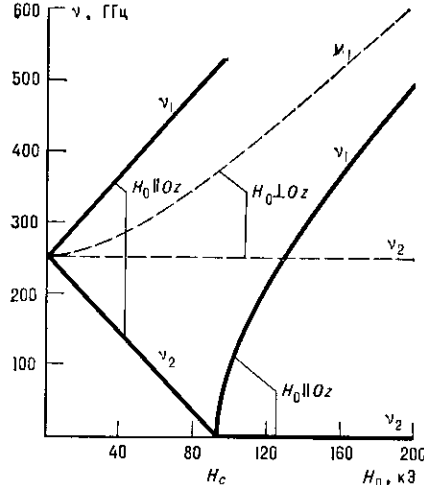


Рис. 1. Зависимость частоты $\nu = \omega/2\pi$ антиферромагнитного резонанса от магнитного поля H_0 для легкоосного антиферромагнетика MnF_2 при $T = 4,2 \text{ K}$ и $H_0 \ll H_E$; $H_c = H_{AE}$ — поле спин-флопа.

Собств. частоты (ω_1 и ω_2) для перечисленных осн. состояний являются корнями характеристич. ур-ний системы из 6 однородных ур-ний относительно l_k и μ_k . При $H_0 \perp Oz$ и $H_0 < 2H_E$:

$$\omega_1 = \gamma \sqrt{H_{AE}^2 + H_0^2}, \quad \omega_2 = \gamma H_{AE} \sqrt{1 - H_0^2/2H_E}. \quad (10)$$

При $H_0 \parallel Oz$ и $H_0 < H_c$:

$$\omega_{1,2} = \gamma H_{AE} \pm \gamma H_0. \quad (11)$$

При $H_0 \parallel Oz$ и $H_0 > H_c$:

$$\omega_1 = \gamma \sqrt{H_0^2 - H_{AE}^2}, \quad \omega_2 = 0. \quad (12)$$

В поле $H = H_E$ происходит склонение подрешёток (спин-флоп). В больших полях резонанс наблюдается за одной частоте: $\omega = \gamma H_0$ (в приближении $H_A \ll H_0$). Зависимость собств. частот от магн. поля показана на рис. 1.

На рис. 2 показан вид свободных колебаний векторов \mathbf{L} и \mathbf{M} (относит. величина \mathbf{M} сильно завышена) в легкоосном АФ при $H = 0$. Характерной особенностью пропеции векторов намагниченности подрешёток в этом случае является тот факт, что даже в отсутствие внеш. магн. поля подрешётки скашиваются и возникает намагниченность \mathbf{m} , к-рая прецессирует (в фазе или в противофазе с \mathbf{L}), оставаясь всё время перпендикулярным вектору \mathbf{L} . Возникающий при свободных колебаниях скос подрешёток объясняет появление обменного поля H_E в ф-лах для собств. частот. Как видно из рис. 2, две моды колебаний отличаются направлением пропеции векторов \mathbf{L} и \mathbf{M} и проекций вектора \mathbf{m} на ось Oz . Эта проекция и обусловливает, как видно из ф-лы (6), снятие вырождения при наложении магн. поля вдоль оси Oz . Круговая пропеция векторов намагниченности наблюдается только в легкоосном АФ (в слабом поле $H_0 \parallel Oz$). В большинстве случаев колебания векторов \mathbf{L} и \mathbf{M} носят более сложный характер.

Для АФ типа «лёгкая плоскость» (у них в осн. состоянии вектор \mathbf{L} лежит в базисной плоскости) значение параметра a в (7) отрицательно ($a < 0$). В поле \mathbf{H}_0 любого направления вектор \mathbf{L} устанавливается перпендикулярно \mathbf{H}_0 (в пренебрежении анизотропией в базисной плоскости) и намагниченность $\mathbf{M} = \mathbf{H}_0/B$. Собств. частоты свободных колебаний:

$$\omega_1 = \gamma H_0, \quad \omega_2 = \gamma H_{AE} \sqrt{1 - H_0^2/2H_E} \quad (\text{при } \mathbf{H}_0 \perp Oz); \quad (13)$$

$$\omega_1 = \gamma \sqrt{H_{AE}^2 + H_0^2}, \quad \omega_2 = 0 \quad (\text{при } \mathbf{H}_0 \parallel Oz). \quad (14)$$

В легкоплоскостных АФ со слабым ферромагнетизмом в ф-лы для А. р. входит поле Дэялошинского \mathbf{H}_D .

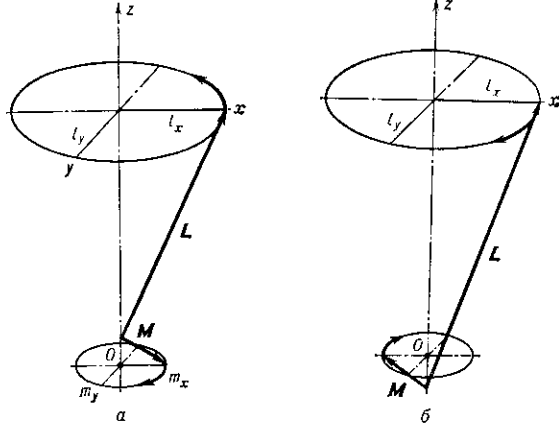


Рис. 2. Прецессия векторов \mathbf{L} и \mathbf{M} при антиферромагнитном резонансе в легкоосном антиферромагнетике: a — мода с наибольшей частотой [знак + в формуле (11)]: $l_x = il_y, m_{\perp}/l_{\perp} = \sqrt{H_A/H_E}$; b — мода с наименьшей частотой [знак — в формуле (11)]: $l_x = -il_y, m_{\perp}/l_{\perp} = -\sqrt{H_A/H_E}$.

В частности, в ромбоэдрич. АФ со слабым ферромагнетизмом

$$\omega_1 = \gamma \sqrt{H_0(H_0 + H_D)}, \quad \omega_2 = \gamma H_{AE} \sqrt{1 + H_D(H_D + H_0)/H_{AE}}. \quad (15)$$

Спектр А. р. для легкоплоскостных АФ со слабым ферромагнетизмом приведён на рис. 3. Схема колебаний векторов \mathbf{M} и \mathbf{L} для НЧ-ветви показана на рис. 4.

Наличие безактивации ветви А. р. ($\omega_1 = \gamma H_0$) у легкоплоскостного АФ обусловлено общим св-вом систем

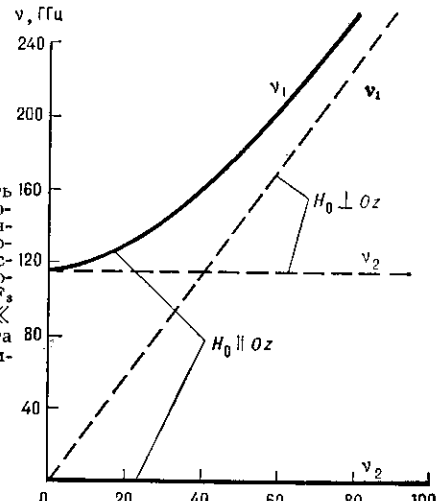


Рис. 3. Зависимость частоты ν антиферромагнитного резонанса от магнитного поля для легкоплоского антиферромагнетика CsMgF_3 при $T = 4,2 \text{ K}$ и $H_0 \ll H_E$ (без учёта сверхтонкого взаимодействия).